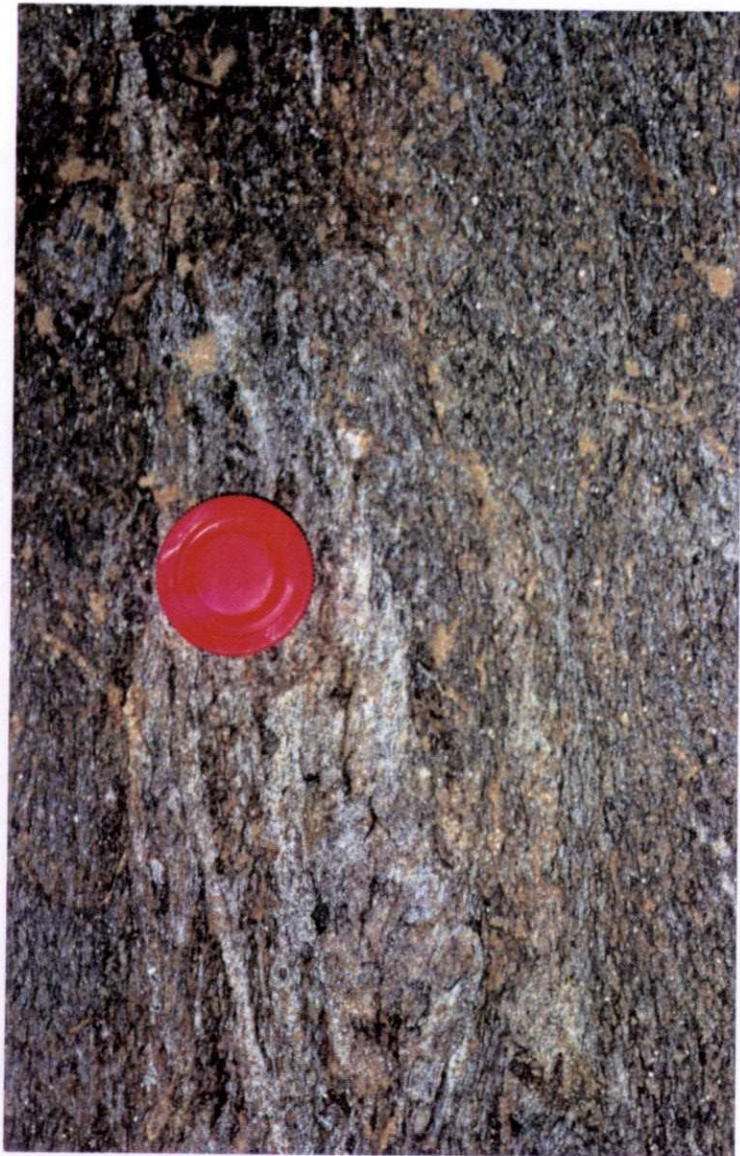


ALBUM FOTOGRÁFICO (MAGNA) DE LA HOJA N° 624 (13-25)
NAVALMORAL DE LA MATA

• NO TIENE UBICACIÓN EN EL PLANO
DE SITUACIÓN DE MUESTRAS.

PRECAMBRICO SUPERIOR – CAMBRICO INFERIOR



SC 9088.-

Aspecto de los materiales pizarrosos (CEG) afectados por metamorfismo de contacto (14). Obsérvese el grado de recristalización y la esquistosidad residual que da lugar a una cornecana bandeadada.



SC 9089.-

Afloramiento de materiales pizarrosos (CEG) afectados por metamorfismo de contacto (parte oriental de el afloramiento al N del Río Tíetar) (14). Obsérvese el moteado en la parte superior izquierda de la foto.



SC 9090.- Detalle de la foto anterior en la que se aprecia una vena de cuarzo ligeramente oblicua a la esquistosidad y parcialmente abudinada y afectada por ella. La vena de cuarzo debió intruir en una etapa inicial del plegamiento en un marco distensivo que posteriormente se hace compresivo (14).



SC 9091.- Pliegues tardíos en los materiales del CEG (14) (afloramiento oriental al N del Río Tiétar, carretera a Valdeíñigos) de ejes N170°E pinchando 20°N.



SC 9092.- Detalle de la charnela de un pliegue tardío de eje N-S subhorizontal en el escarpe del Canal del Embalse de Rosarito (CEG, afloramiento oriental, N del Río Tiétar) (14).



RG 9211.- Núcleo anticlinal de la sucesión de pizarras y grauvacas de edad Precámbrico Superior – Cámbrico Inferior (14).



EC 9307.- Pizarras y grauvacas verdosas masivas del Precámbrico-Cámbrico (14). En este afloramiento las pizarras se encuentran afectadas por dos esquistosidades, una primera (S_1 , coincidente con S_0 , de dirección N70°E, buzando 5°N y una segunda esquistosidad de fractura (S_2) N140°E/70°S.

ORDOVICICO INFERIOR-MEDIO



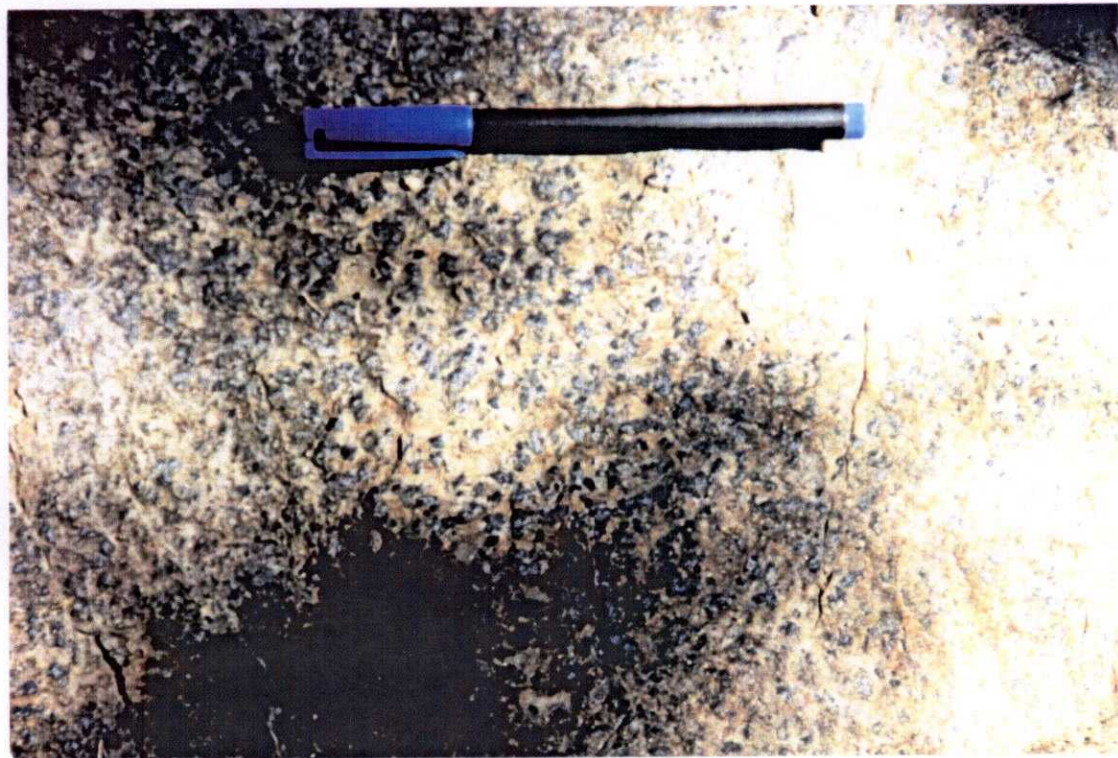
SC 9080.- Vista general del afloramiento (a favor de una cantera) de las cuarcitas ± moscovíticas (Facies Armoricana), al SE del Cerro de las Cabezas (NO de Casatejada) (15).



SC 9081.- Idem. anterior (15)



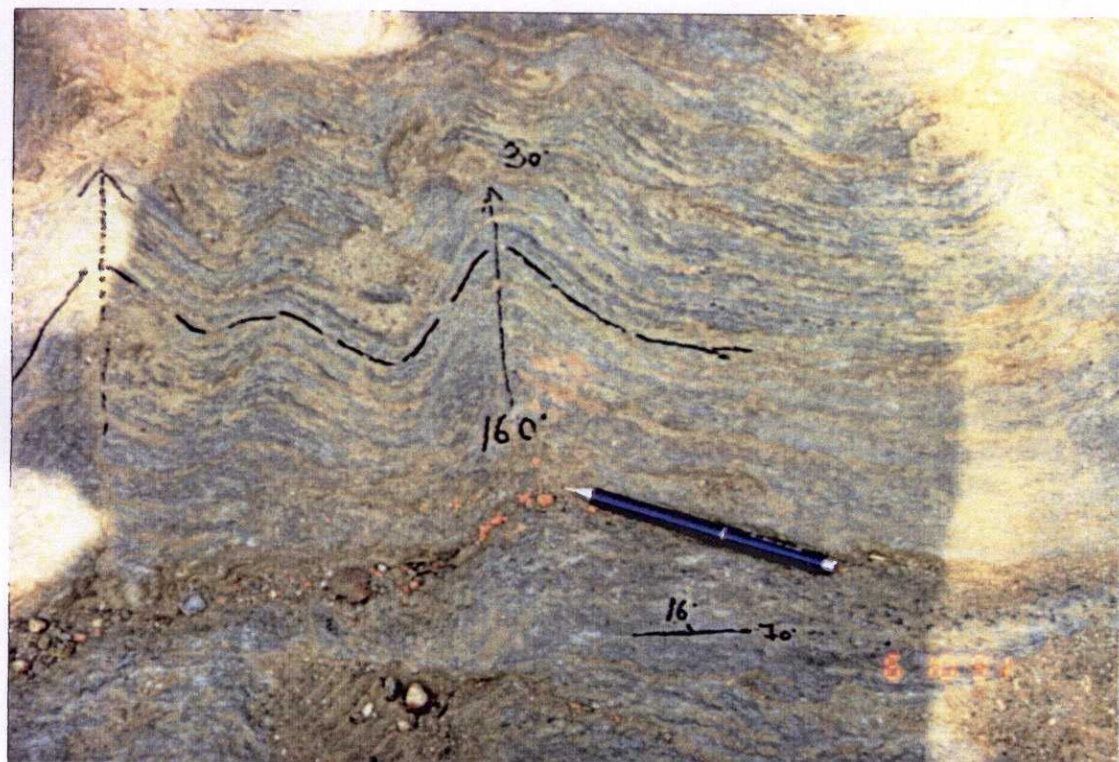
SC 9082.- Detalle de las cuarcitas de las fotos anteriores (15). Obsérvese el grado de fracturación y la abundancia de óxidos ferruginosos.



EC 9300.- Pizarras gris-negruzcas corneanizadas del Ordovícico Superior (16), al Suroeste de Navalmoral de la Mata, en las cercanías de Aº del Caño de los Herreros. Se observa el intenso moteado (motas de hasta 10 mm de diámetro) que presentan estas pizarras en este sector próximo al contacto con el Macizo granítico de Navalvoral de la Mata.



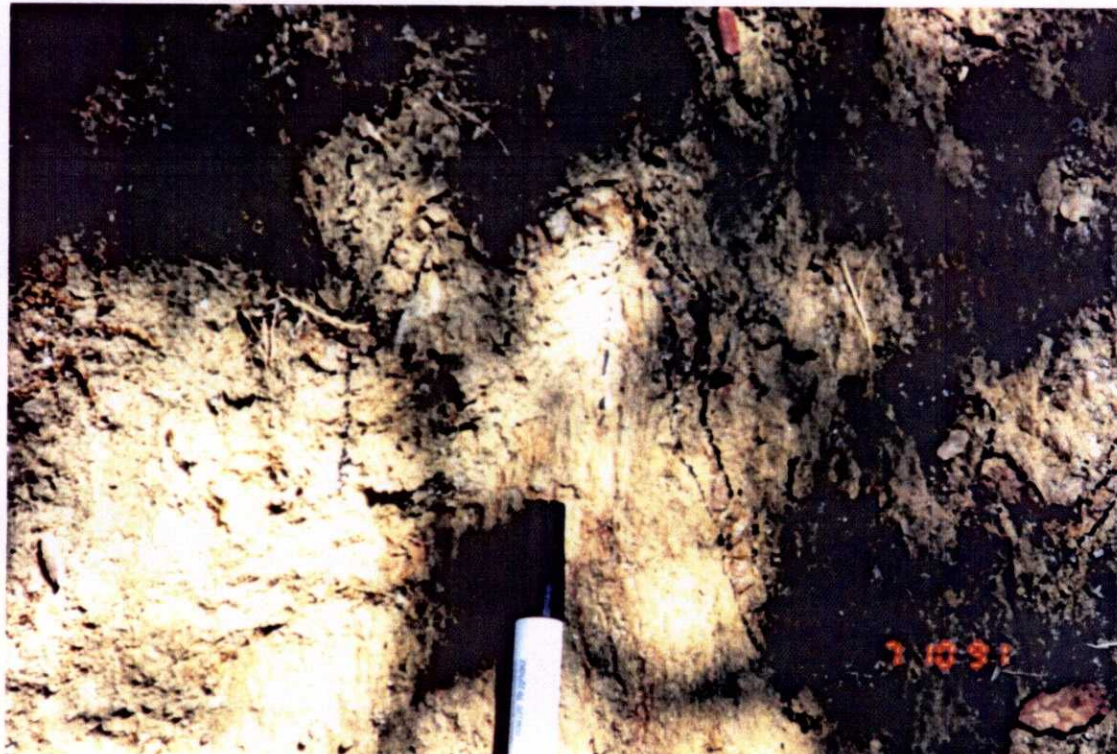
EC 9301.- Pliegues centimétricos en afloramiento de pizarras grís-negruzcas del Ordovícico Superior (16). Esquistosidad general N70°E/16°N. Dirección de los ejes de los pliegues N160°E/30°N.



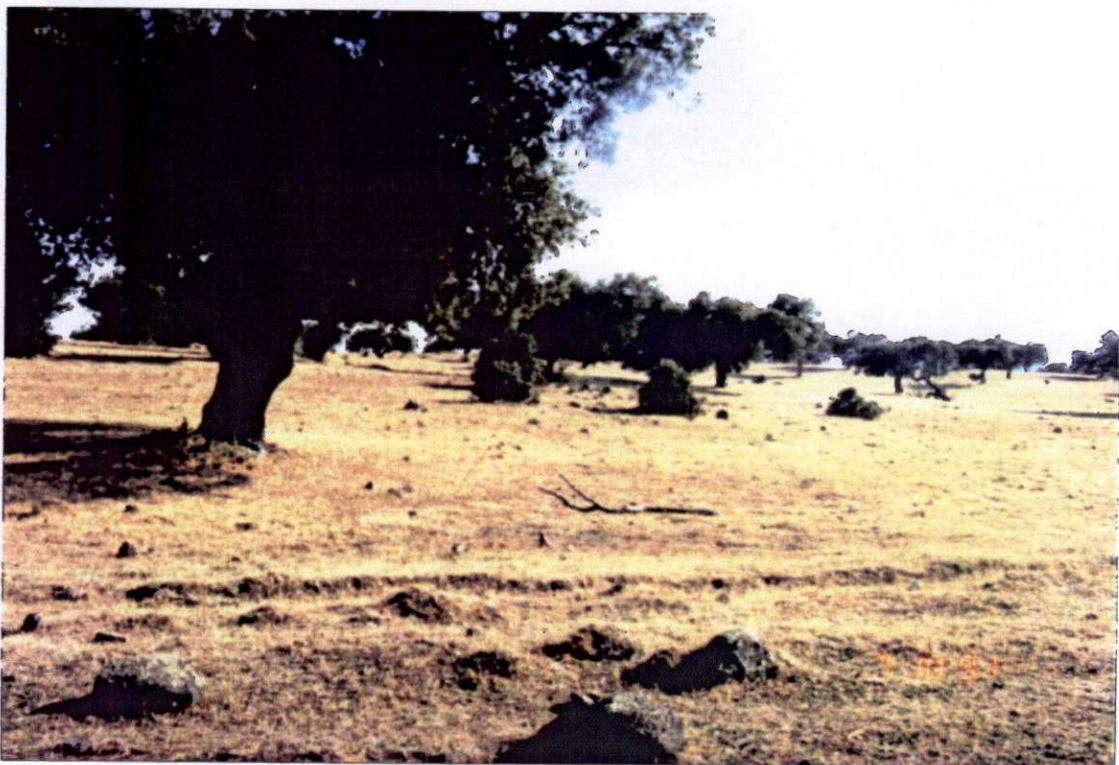
EC 9302.- Detalle de la fotografía anterior (16).



EC 9303.- En el afloramiento anterior (16), pliegue métrico cuyo eje presenta una dirección N-S, pinchando 30° al N.



EC 9304.- Afloramiento de pizarras del Ordovícico Superior (16) afectadas por metamorfismo de contacto. Estas pizarras presentan dos esquistosidades una (S_1) N80°E/5°S y otra segunda (S_2) de plano axial N130°–150E/25°S. Esta última, pliega el filoncillo de cuarzo marcado en la fotografía, coincidiendo la dirección de los planos axiales observados con S_2 .



EC 9305.- Enclaves de corneanas (16) en el centro del macizo granítico de Navalmoral de la Mata, en el paraje de Cancho Redondo.



EC 9306.- Detalle de las pizarras corneanizadas anteriores (16).

TERCIARIO - CUATERNARIO



RG 9210.- Conglomerados cementados de matriz limo-arenosa (17).



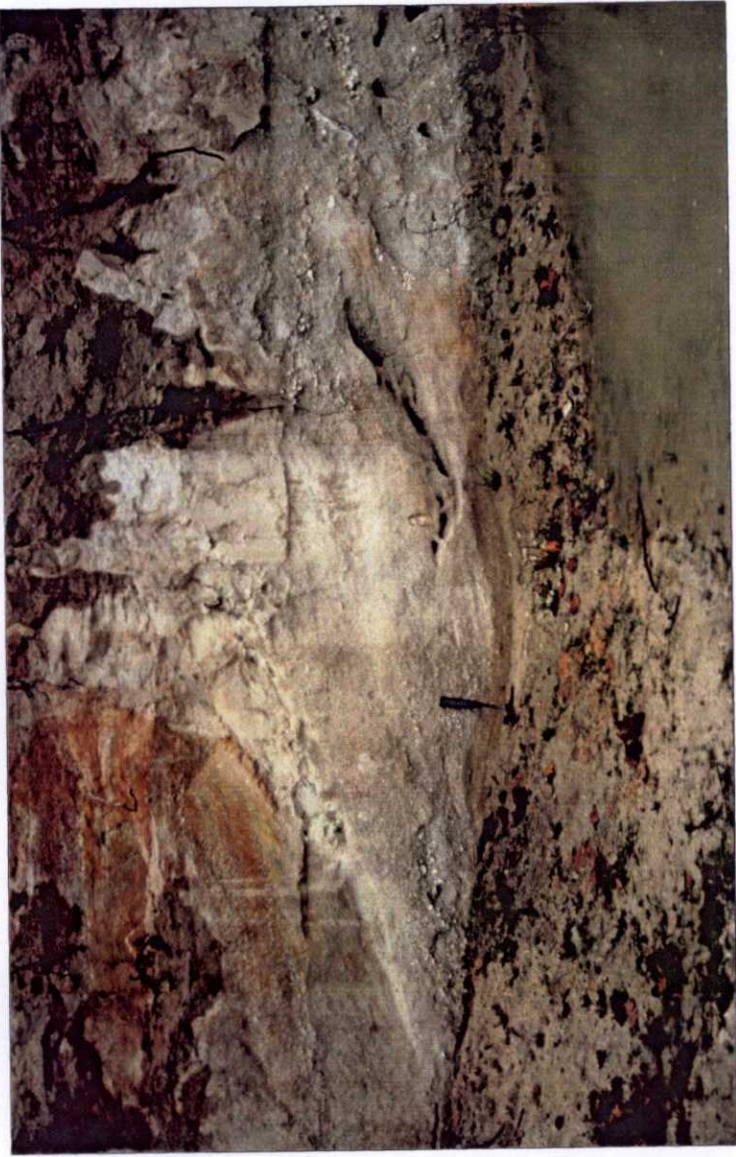
RG 9212.- Cantos soportados por una matriz arenosa (debris flow) (17).



RG 9213.- Arcosas y gravas (18). Estructuras de canal y migración de canal.



RG 9214.- Unidad Superior de gravas gruesas (20), sobre la Unidad Inferior de arcosas (19).



RG 9215.- Estructuras de ordenamiento interno (estratificaciones cruzadas) en
arcosas (19).

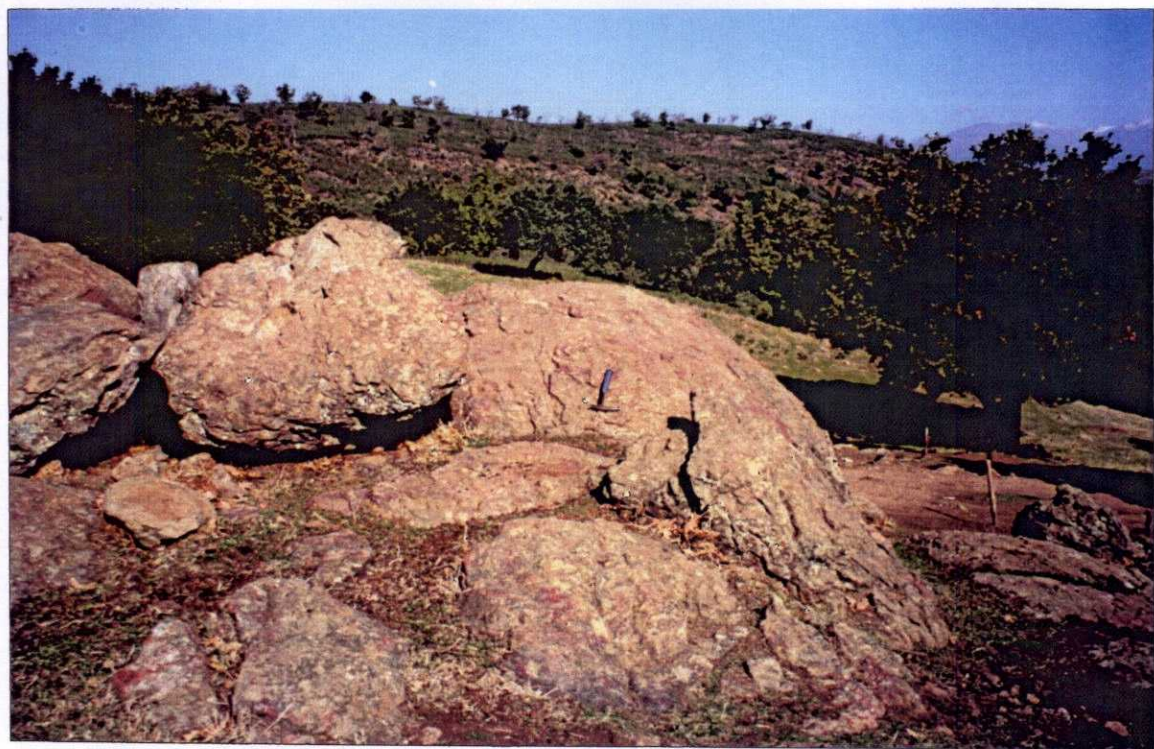


RG 9216.- Arcosas gruesas y gravas finas (19).



RG 9217.- Dinámica fluvial del Río Tiétar (30). Barras arenosas y canales fluviales de segundo orden.

UNIDAD MIGMATITICA DE TEJEDA DE TIETAR Y GRANITOS ASOCIADOS



SC 9083.- Afloramiento de las migmatitas mesocráticas de Tejeda de Tiétar (4) con foliación N30°E/40°SE (SE del Vértice Venteras).



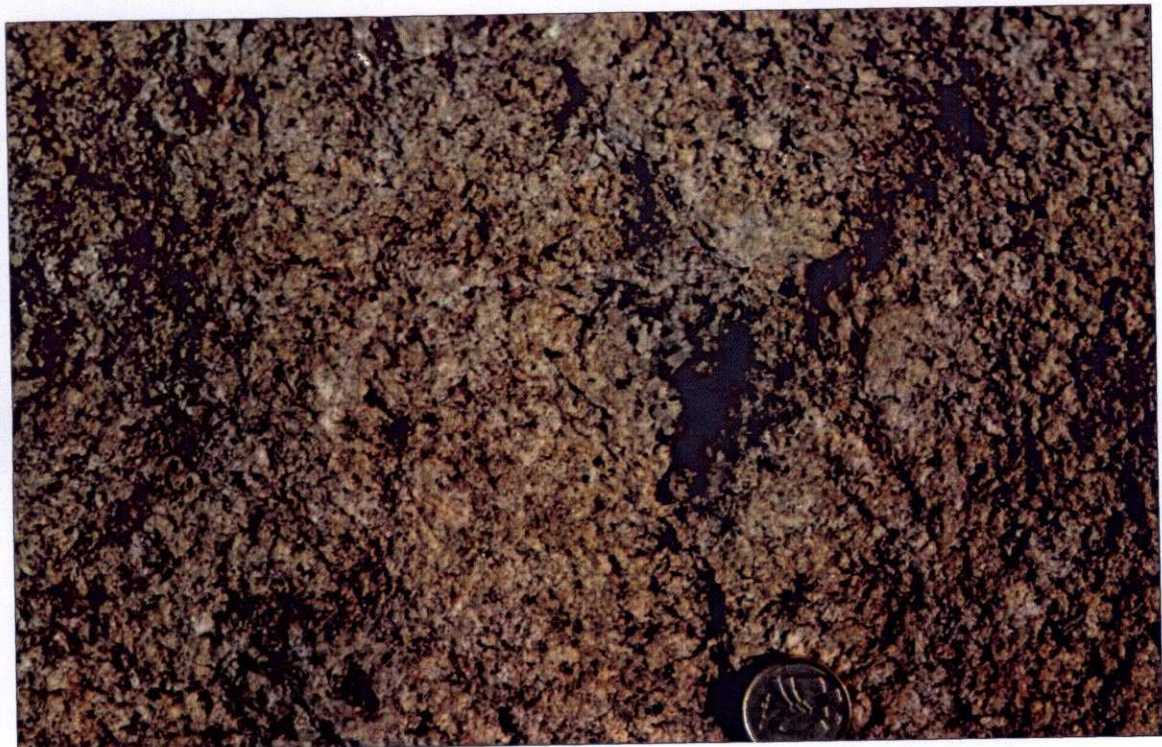
SC 9084.- Detalle de la foto anterior en la que se puede apreciar el aspecto metatexítico de la roca. Obsérvese los movilizados graníticos (de color claro) respecto de zonas biotíticas poco o nada movilizados (4).



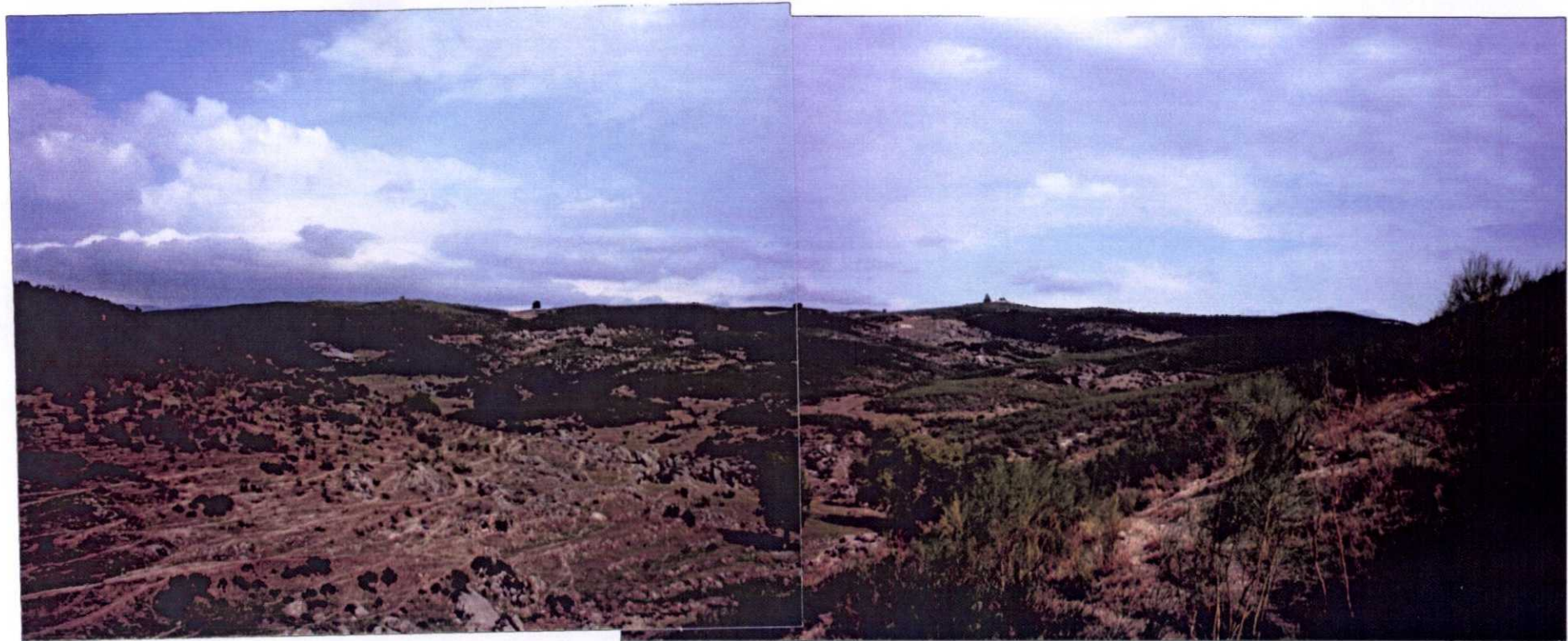
SC 9087.- Contacto entre las migmatitas mesocráticas (4) de Tejeda de Tiétar (izquierda) y el monzogranito biotítico porfídico (derecha) (7).



SC 9097.- Afloramiento de leucogranitos anatéctico-migmatíticos (6) en el vértice NO de la Hoja.



SC 9098.- Detalle de estos leucogranitos (6) en los que se aprecia una fábrica anisótropa foliada.



SC 9095A-
-

Vista panorámica leucogranito del pantano de Gargüera (8) (en primer término) y las migmatitas de Tejeda de Tiétar (4) (en las cumbres). Foto tomada en dirección NE, desde el puente del Canal del Embalse de Rosarito sobre el Arroyo Godino.



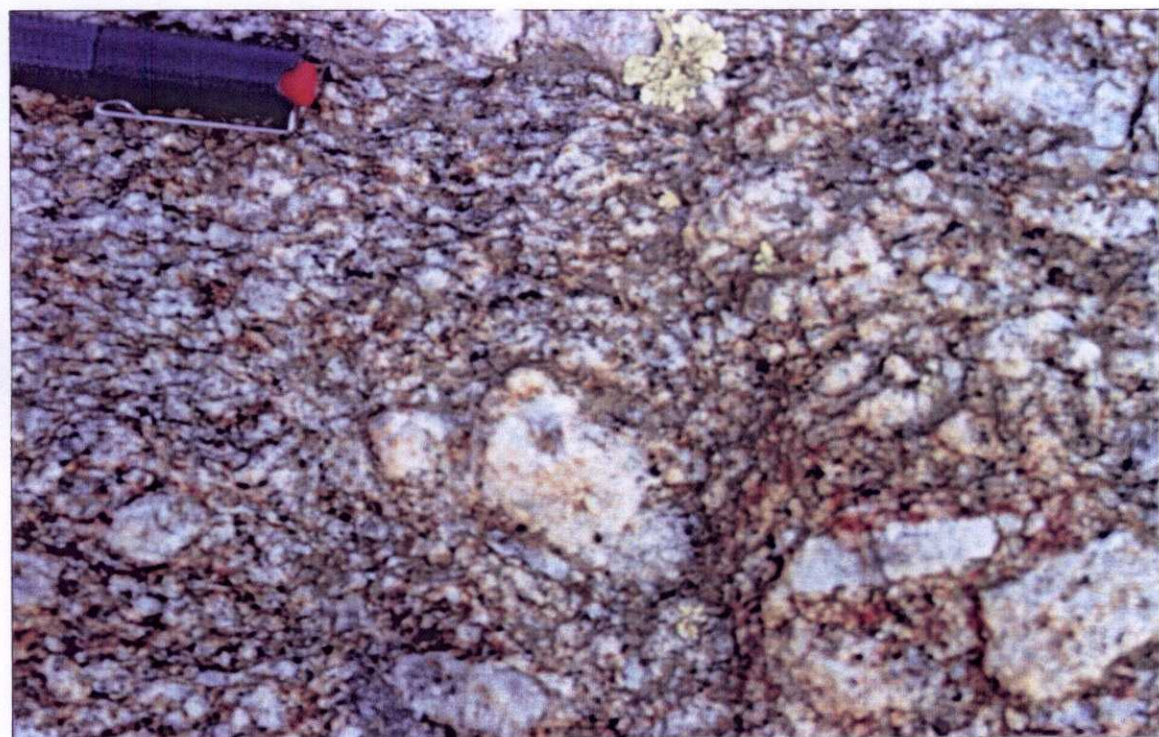
SC 9093.- Detalle del leucogranito foliado de grano medio (localmente con megacristales de feldespato-K), biotítico-moscovítico con \pm sillimanita (granito del Pantano de Gargüera) (8). Curva abandonada de la carretera de Valdeíñigo a Tejeda de Tiétar.



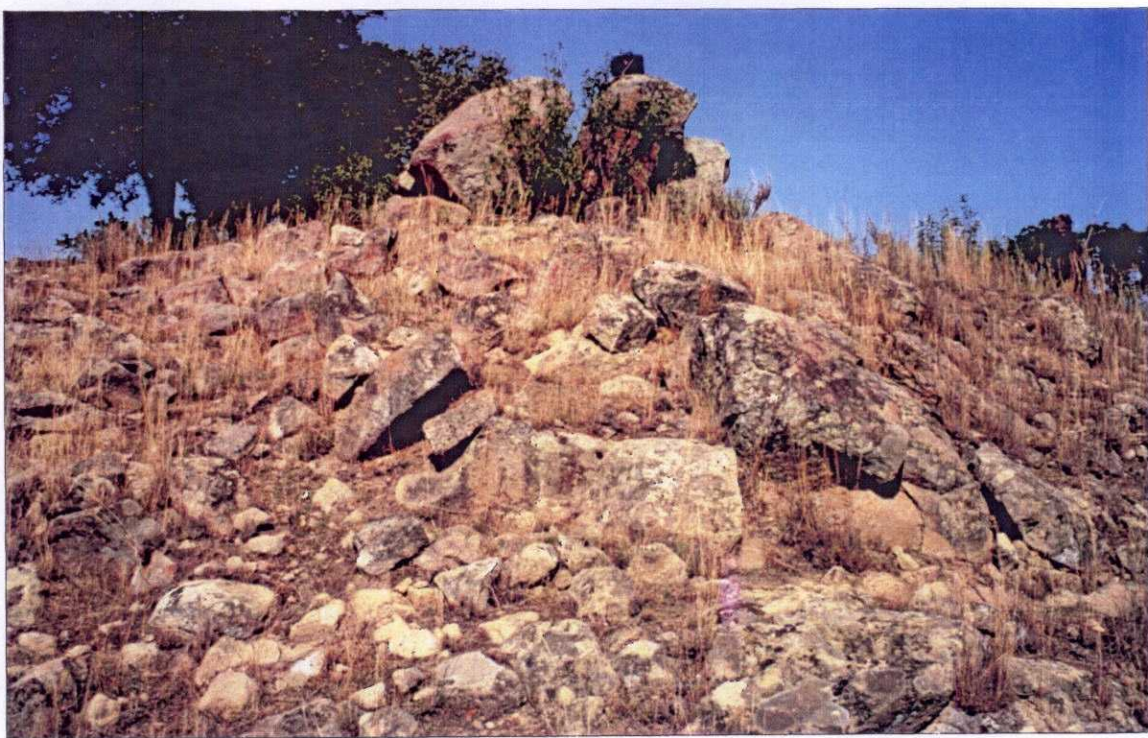
SC 9099.- Aspecto de los leucogranitos del Pantano de Cargüera (8) en la carretera de Valdeíñigos a Tejeda de Tiétar. Obsérvese el aspecto heterogéneo y foliado de estas rocas.



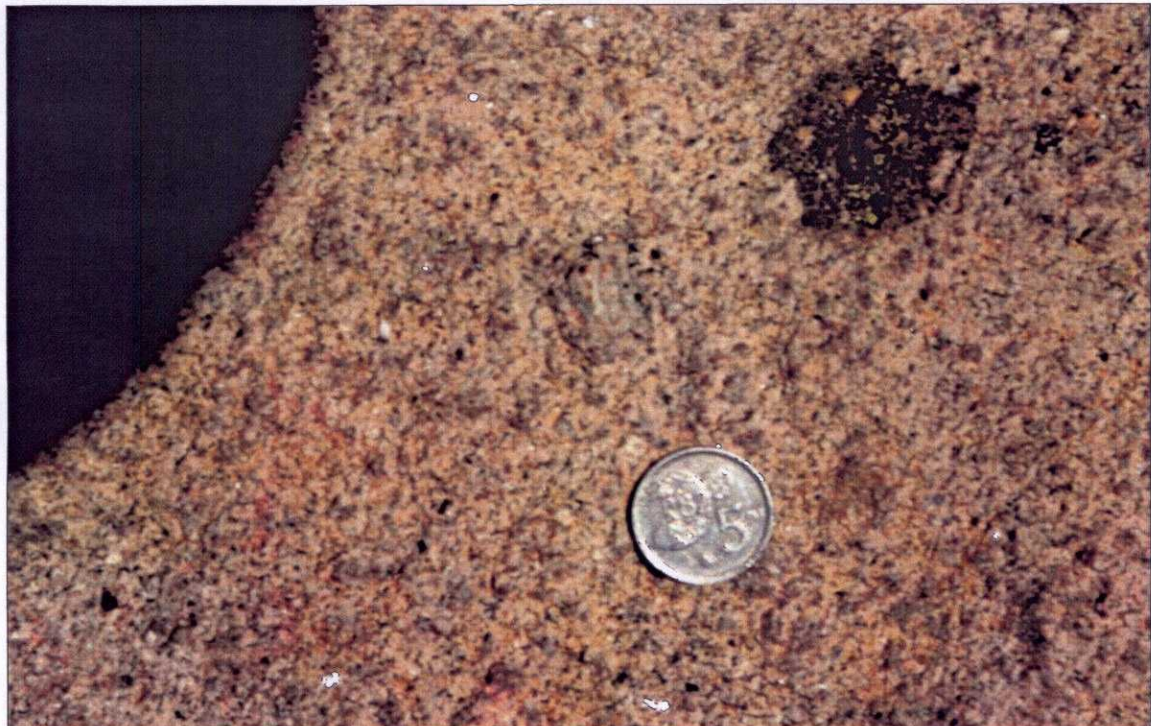
SC 9100.- Detalle de la foto anterior en la que se puede apreciar mejor la anisotropía litológica y estructural de la roca.



SC 9094.- Detalle del monzogranito porfídico, biotítico con \pm moscovita y \pm sillimanita (7). Carretera a Valdeíñigos.

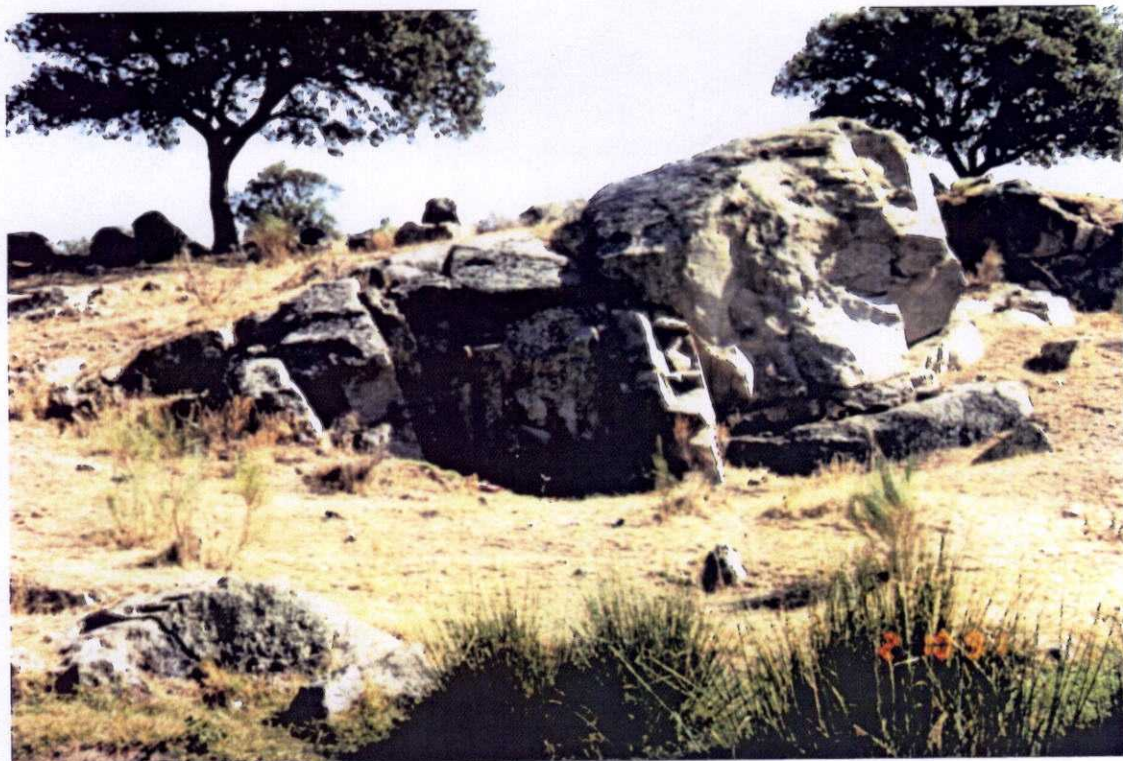


SC 9085.- Afloramieto hectométrico de leucogranito de grano medio biotítico-moscovítico (3) intruyendo a las migmatitas de Tejeda de Tietar (SE del Vértice Venteras). Otro afloramiento, situado al Sur, muestra geometría tabular e intruye a las migmatitas y al monzogranito biotítico porfídico.

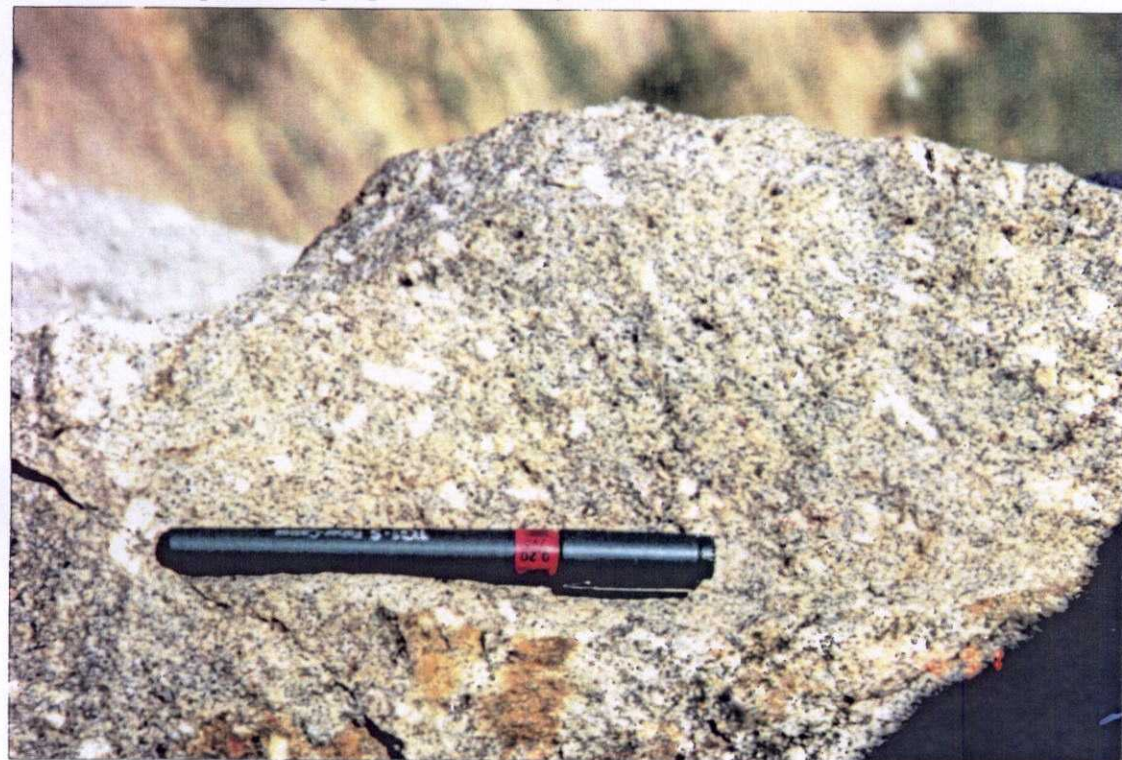


SC 9086.- Detalle del afloramiento anterior. Obsérvese el aspecto isótropo, equigranular de grano medio, su coloración rosácea y algunas placas de moscovita milimétricas (3).

MACIZO GRANITICO DE NAVALMORAL DE LA MATA



EC 9308.- Afloramiento de granito de grano fino y/o medio-fino, biotítico-moscovítico y/o con moscovita (9). Se observa la fracturación poligonal paralela que presentan estas fácies.



EC 9309.- Detalle del granito anterior donde se observa una distribución desorientada de los megacristales FdK (1,5 cm x 0,5 cm) en una mesostasis granular fina, con moscovita, en agregados de varios individuos, a veces de tamaño superior al centímetro lo que podría indicar un enriquecimiento secundario de esta.



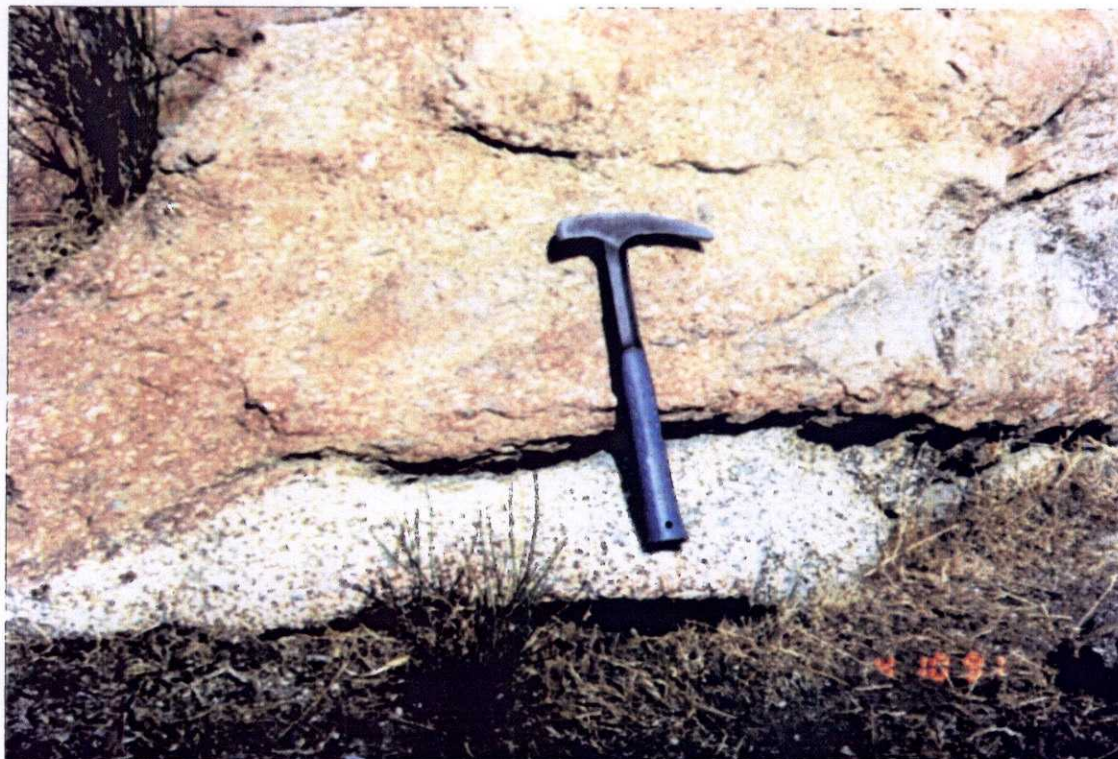
EC 9310.- Afloramiento de granito de grano grueso o medio-grueso biotítico moscovítico (10). Este granito se presenta dando formas aborregadas de tonalidades rosadas y asalmonadas.



EC 9311.- Detalle del granito de grano grueso biotítico moscovítico (10) en el Aº del Caño de los Herreros.



EC 9312.- Afloramiento en el que se puede observar el contacto entre las dos facies graníticas dominantes en el área (9, 10). Del examen del mismo se llega a la conclusión de que las facies de grano grueso son posteriores a las de grano fino, inyectándose unas a favor de planos de discontinuidad de las otras, mezclándose ambas facies en la zona de contacto.



EC 9313.- Detalle de la anterior.



EC 9314.- Detalle de EC-9211, en la que se observa cómo el contacto no es regular, inyectándose el granito de grano grueso (10) a través de planos de anisotopía del granito de grano fino (9).



EC 9315.- Otro aspecto de la relación estructuras de las facies dominantes en el macizo de Navalmoral de la Mata. En este caso se observa como el granito de grano grueso en su ascensión arrastra bolos del granito de grano fino y los engloba dando lugar a una seudobrecha ígnea.



EC 9316.- Dique de leucogranito aplítico (2) N170°E/30°E, en el paraje de "Berrocal de Millanes". El buzamiento del dique es subcoincidente con la pendiente de la ladera por lo que el afloramiento es bastante extenso.



EC 9317.- Granitos de grano grueso y/o grueso-medio biotítico-moscovítico, en facies de grano fino-medio. Estas facies se localizan en el contacto de estos granitos con los de grano fino. En este caso se observa un cristal de cordierita, inmerso en una mesostasis de grano medio-fino muy enriquecida en biotita.



EC 9318.- Otro aspecto del granito anterior en el que se observa un enclave centimétrico de granitos de grano fino.